

Иллюстрации к статье Истратова В.А. и др. “Радиоволновой метод мониторинга ……… “

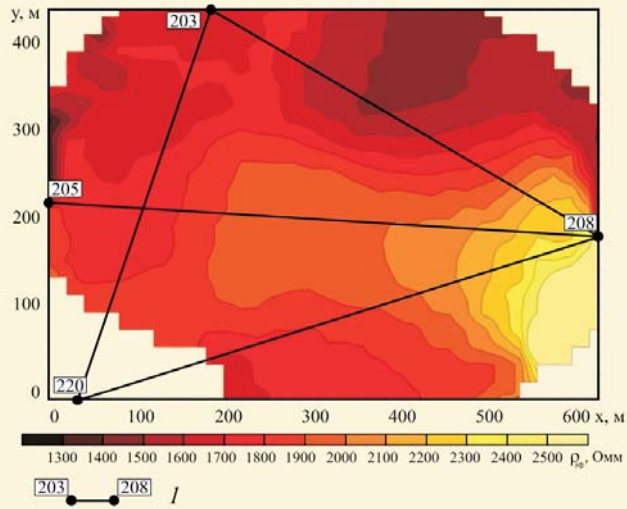


Рис. 3. Геоэлектрический разрез (томограмма) по данным РВГИ. Пихтовое месторождение нефти.

Рис. 4. Фрагмент 3D-геоэлектрической карты РВГИ. Горизонтальное сечение по абс. отметке -2038 м. Пихтовое месторождение нефти. 1 - сечения просвечивания.

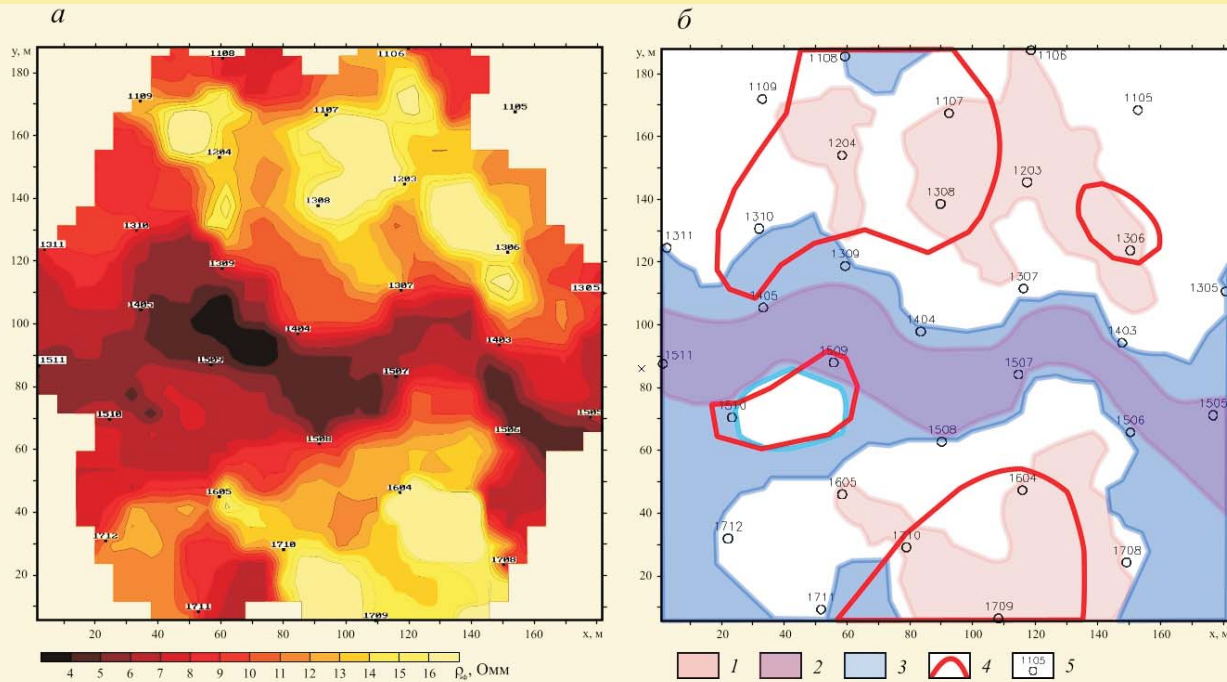
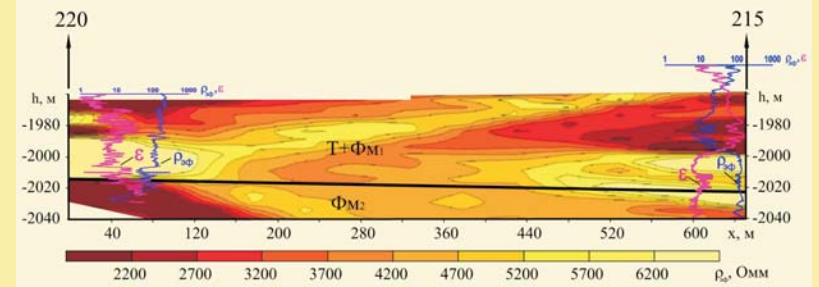


Рис. 5. Результаты РВГИ по Далматовскому месторождению урана. а - фрагмент 3D-геоэлектрической карты РВГИ, горизонтальное сечение по глубине 444 м; б - карта геотехнологической интерпретации. 1 - глинистые участки по данным РВГИ; 2 - области концентрации кислоты более 8 г/л; 3 - области концентрации кислоты от 4 до 8 г/л; 4 - глинистые участки по геологическим данным; 5 - скважина и ее номер.

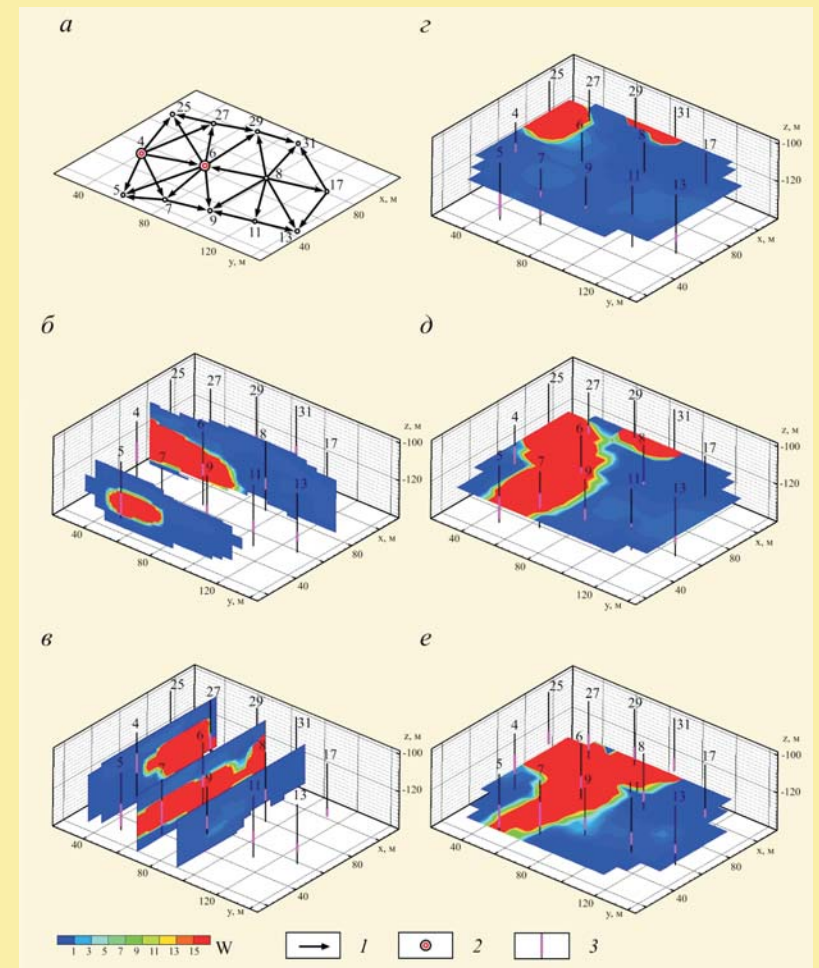


Рис. 6. Результаты РВГИ по контролю за распространением газообразного окислителя. Месторождение урана, Южный Букнайн. а - план расположения скважин и схема измерений РВГИ; б-е - объемная карта параметра W в аксонометрических проекциях вертикальных и горизонтальных сечений. 1 - сечения просвечивания; 2 - нагнетательные скважины; 3 - интервалы фильтров по скважинам.